

## Petrología Ígnea y Metamórfica

Prof. Licenciado Javier Gomez Figueroa



#### El Interior de la Tierra

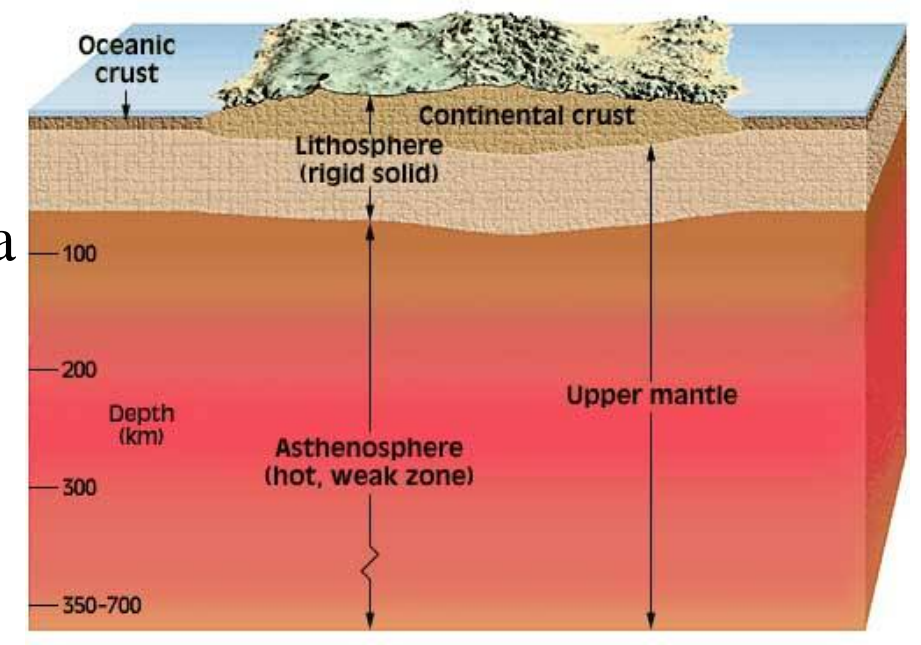
#### **Corteza:**

#### Corteza Oceánica

Espesor: 10 km

Uniformidad estratigráfica relativa

- sedimentos
- pillow basalt
- Suite de diques máficos
- Estratos de gabros masivos
- Rocas ultramáficas (manto)



#### **Corteza Continental**

Espesor: 20-90 km promedio ~35 km

Alta variación composicional

Promedio ~ granodiorita

#### El Interior de la tierra

#### Manto:

Peridotita (ultramáfica)

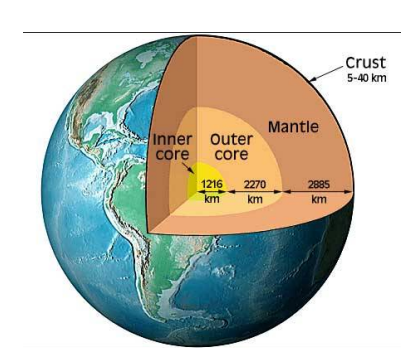
Manto superior Hasta los 410 km (olivino → spinelo) Capas de baja velocidad 60-220 km

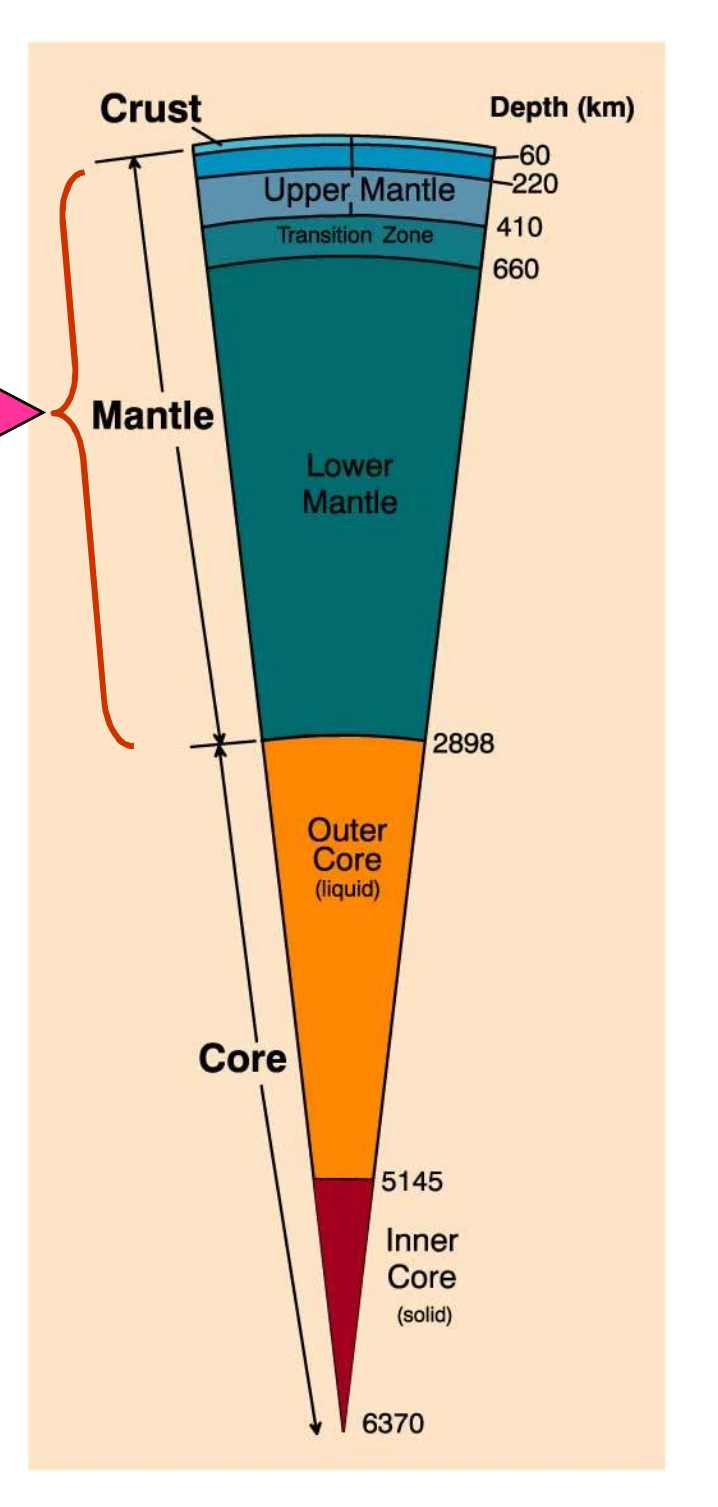
**Zona de Transición** velocidad de onda aumenta rapidamente. Hasta los 660 km spinelo → perovskita-tipe Si<sup>IV</sup> → Si<sup>VI</sup>

El manto inferior tiene un aumento de

velocidad más gradual

**Figure 1.2** Major subdivisions of the Earth. Winter (2001) An Introduction to Igneous and Metamorphic Petrology. Prentice Hall.





## El Interior de la Tierra

#### **Núcleo:**

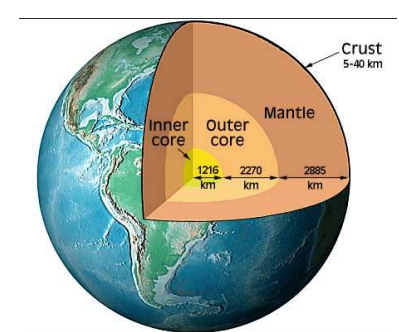
Aleación de Fe-Ni metállico

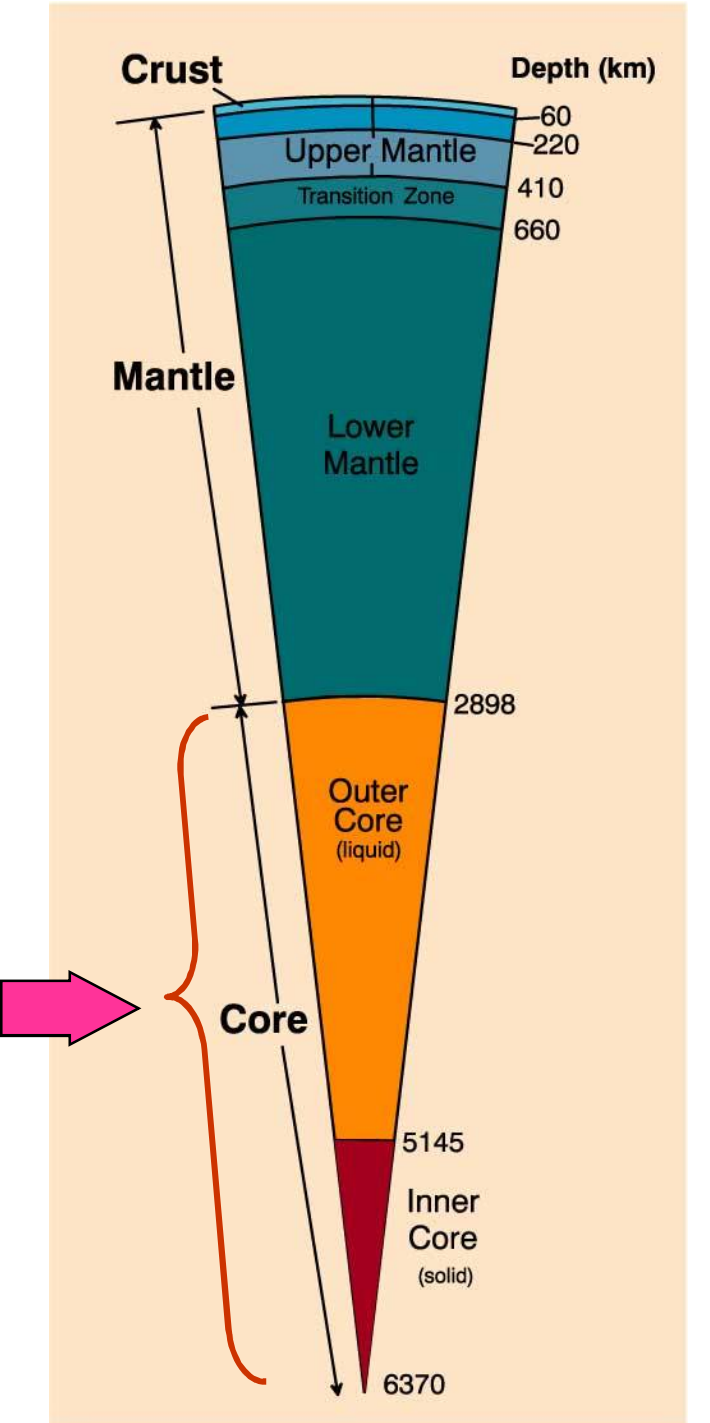
Núcleo exterior es líquido

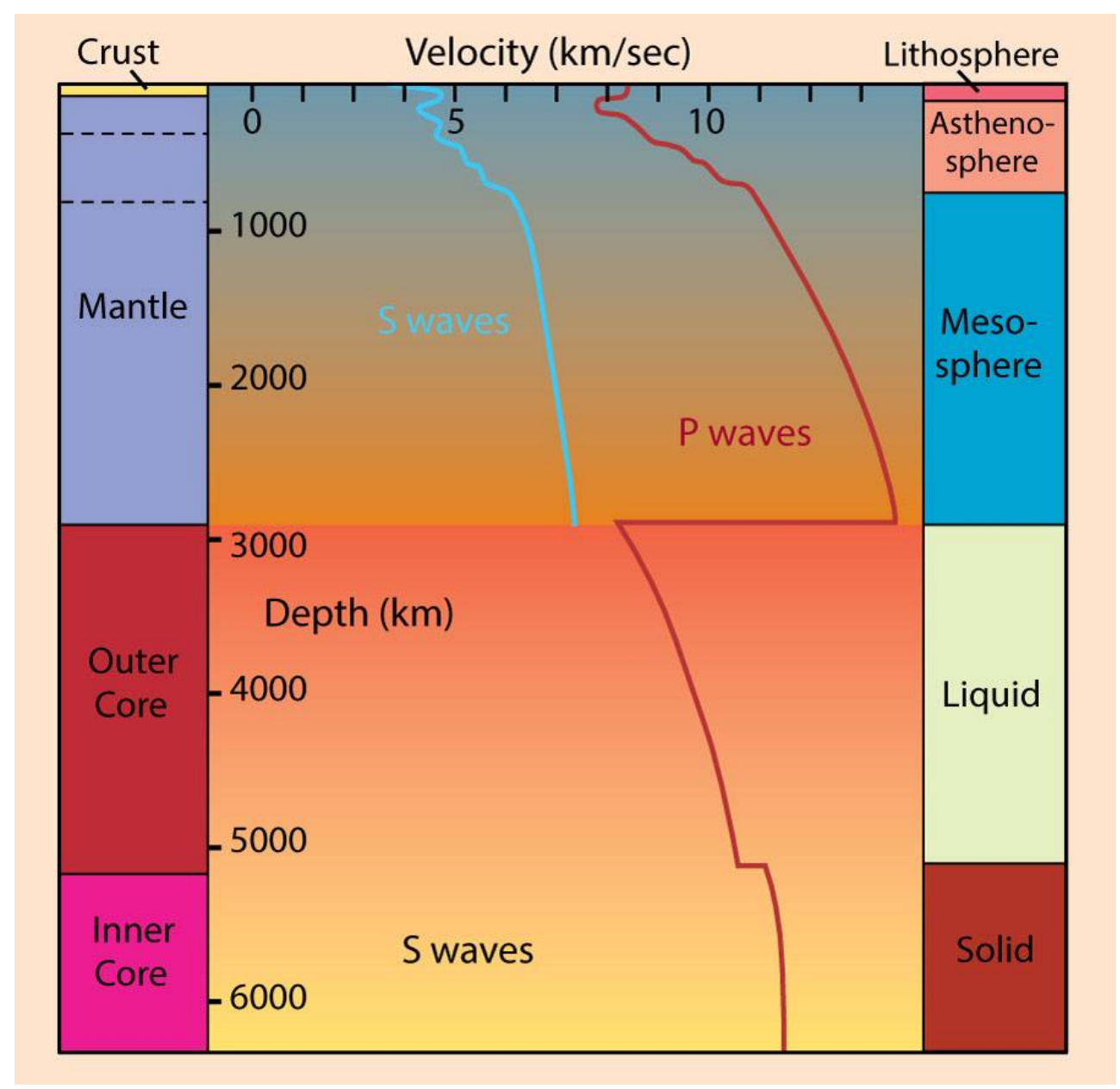
No S-ondas

Núcleo interno es solido

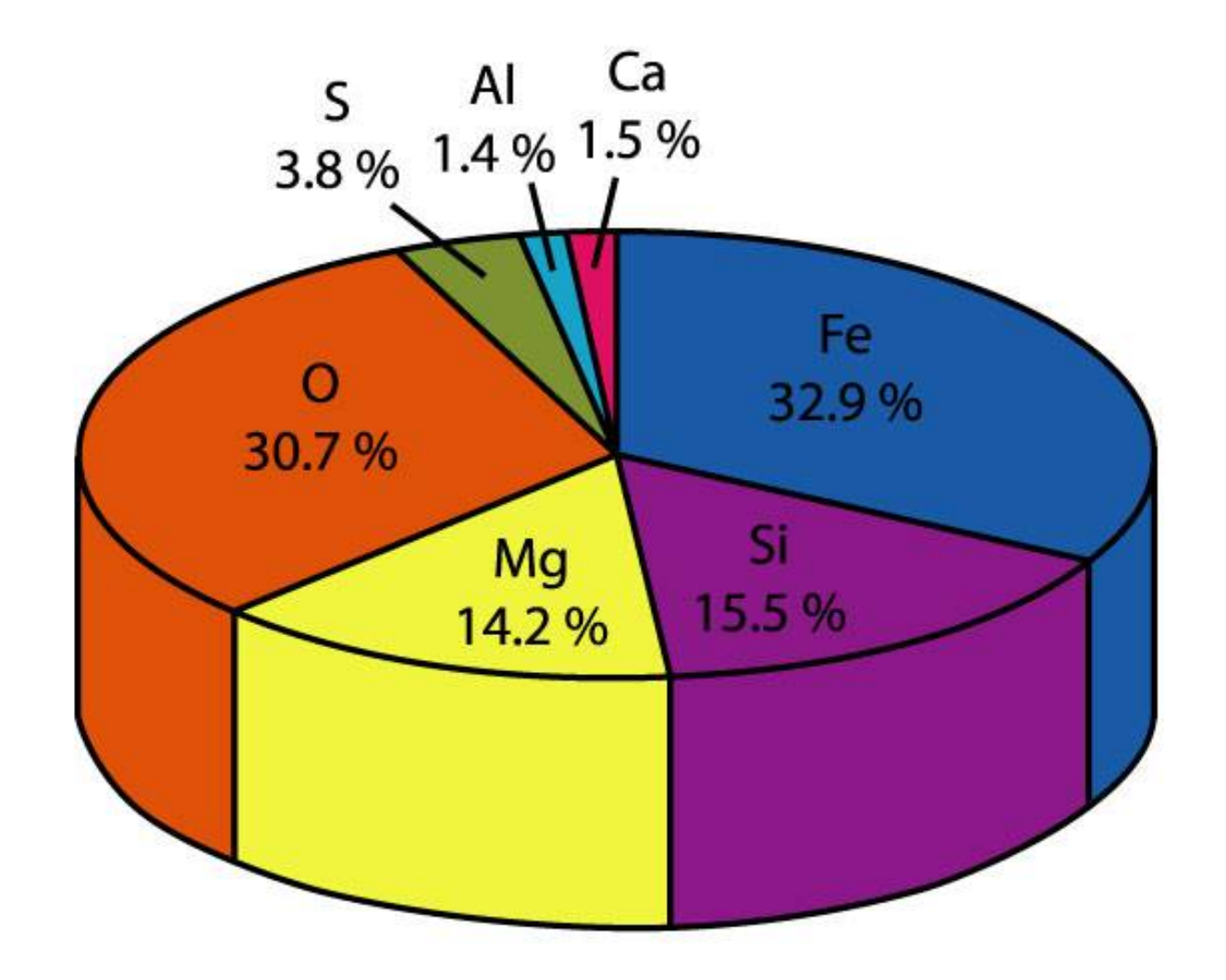
**Figure 1.2** Major subdivisions of the Earth. Winter (2001) An Introduction to Igneous and Metamorphic Petrology. Prentice Hall.







**Figura 1.3** Variación en las velocidades de onda P y S con la profundidad. Las subdivisiones compositivas de la Tierra están a la izquierda, las subdivisiones reológicas a la derecha. Después de Kearey y Vine (1990), Global Tectonics. © Blackwell Scientific. Oxford.

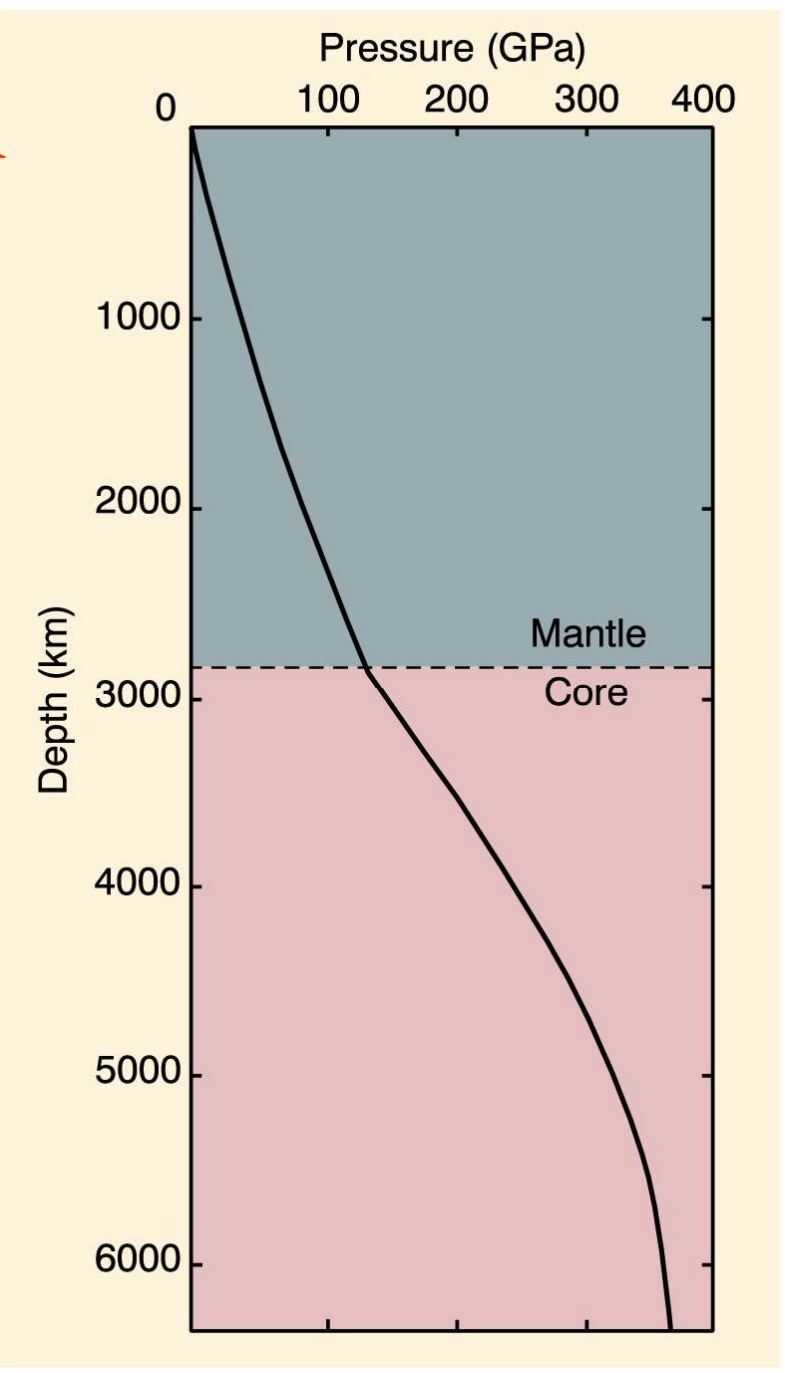


**Figura 1.5** Abundancia atómica relativa de los siete elementos más comunes que constituyen el 97% de la masa de la Tierra. Una introducción a la petrología ígnea y metamórfica, por John Winter, Prentice Hall.

## El gradiente de Presión

- P aumenta
   considerablemente = ρgh
- Cercano al contacto con el núcleo
  - ~ 90 MPa/km
- Núcleo: ρ se incrementa más rapidamente desde el núcleo externo al interno

Figura 1.8 Variación de la presión con la profundidad. De Dziewonski y Anderson (1981). Fis. Planeta Tierra. Int., 25, 297-356. © Elsevier Science.



# Fuentes de calor en la tierra

- 1. Calor de la temprana acreción y diferenciación de la tierra.
  - todavía llegando lentamente a la superficie

## Fuentes de calor en la tierra

- 1. Calor de la temprana acreción y diferenciación de la tierra.
  - todavía llegando lentamente a la superficie
- 2. Calor liberado por la descomposición radiactiva de nucleidos inestables.

## Transferencia de Calor

#### 1. Radiación

- ◆Requiere un medio transparente
- ◆Las rocas no están (excepto quizás a gran profundidad)

#### 2. Conducción

- ◆Las rocas son pobres conductoras del calor
- Proceso muy lento

## Transferencia de Calor

- 1. Radiación
- 2. Conducción
- 3. Convección

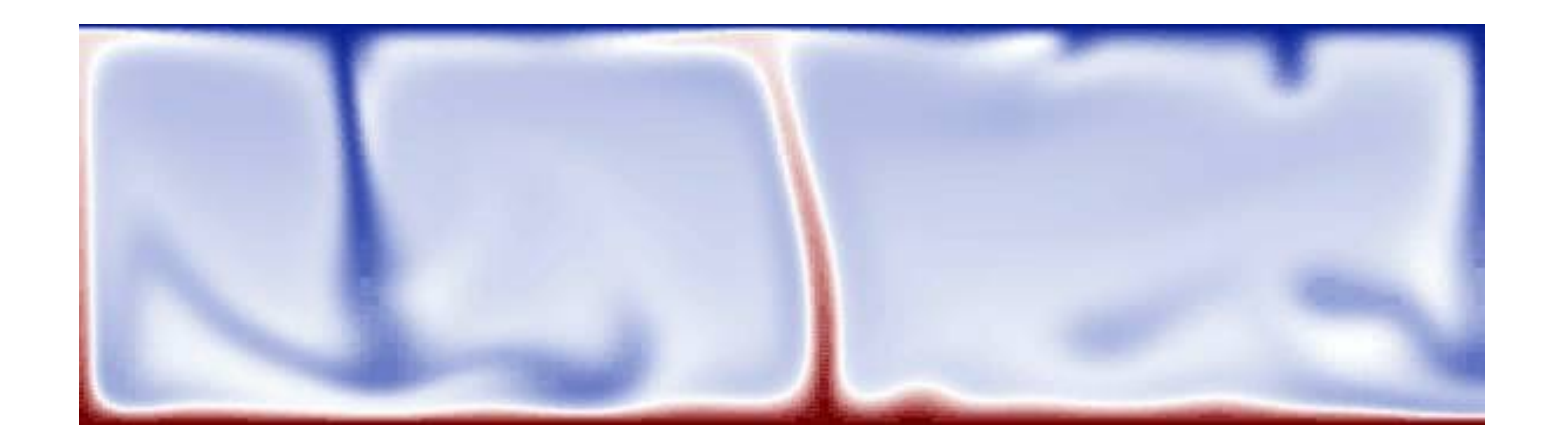


Figura 1.9 Sección transversal esquemática a través de los 200-300 km superiores de la Tierra que muestran gradientes geotérmicos que reflejan una convección de calor adiabática (contenido de calor constante) más eficiente en la astenosfera móvil (gradiente más pronunciado en azul) y una transferencia de calor conductora menos eficiente a través del más Litosfera rígida (gradiente menos profundo en rojo). La capa límite es una zona a través de la cual se produce la transición en la reología y el mecanismo de transferencia de calor (en verde). El grosor de la capa límite se exagera aquí para mayor claridad: probablemente sea menos de la mitad del grosor de la litosfera.

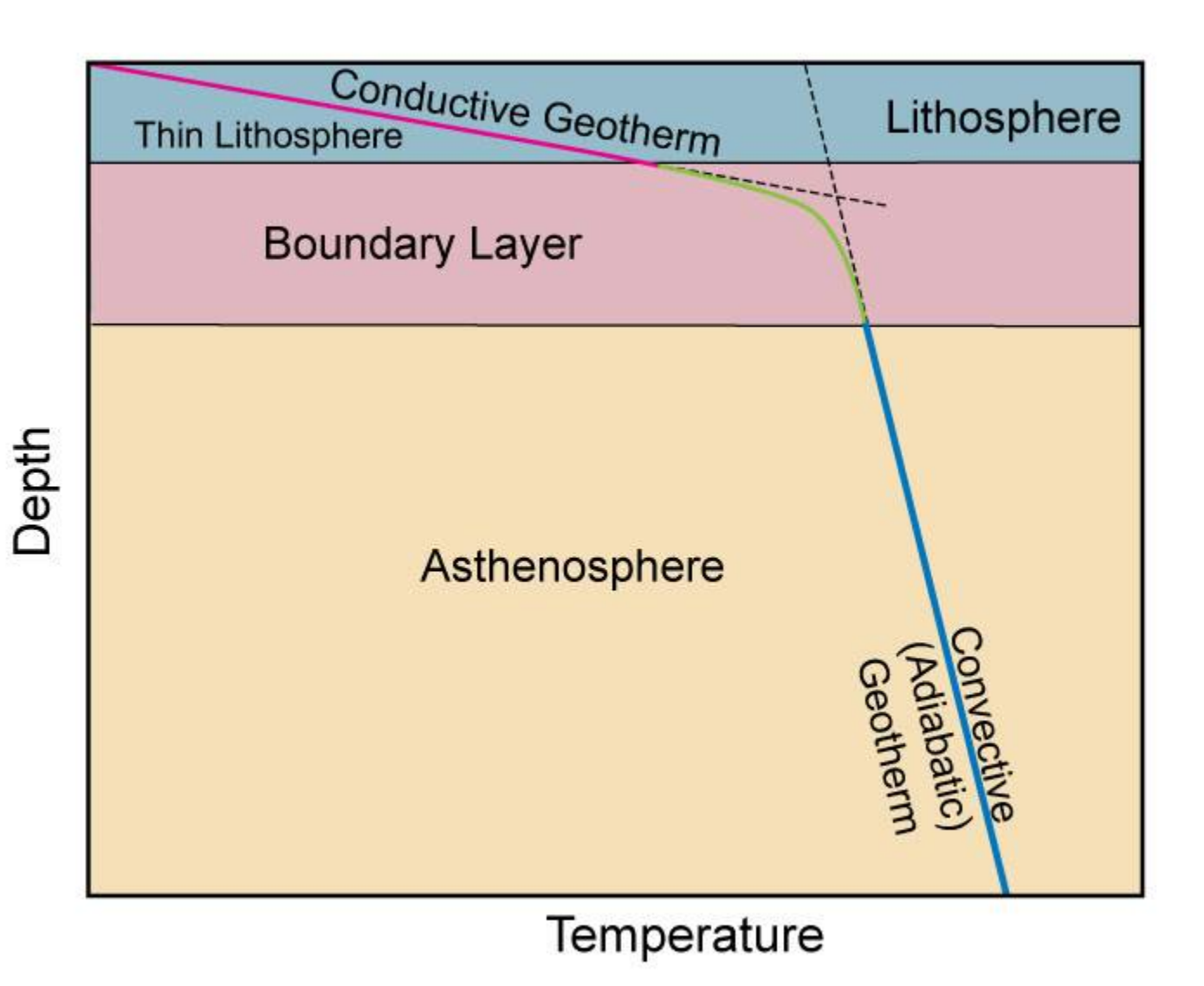
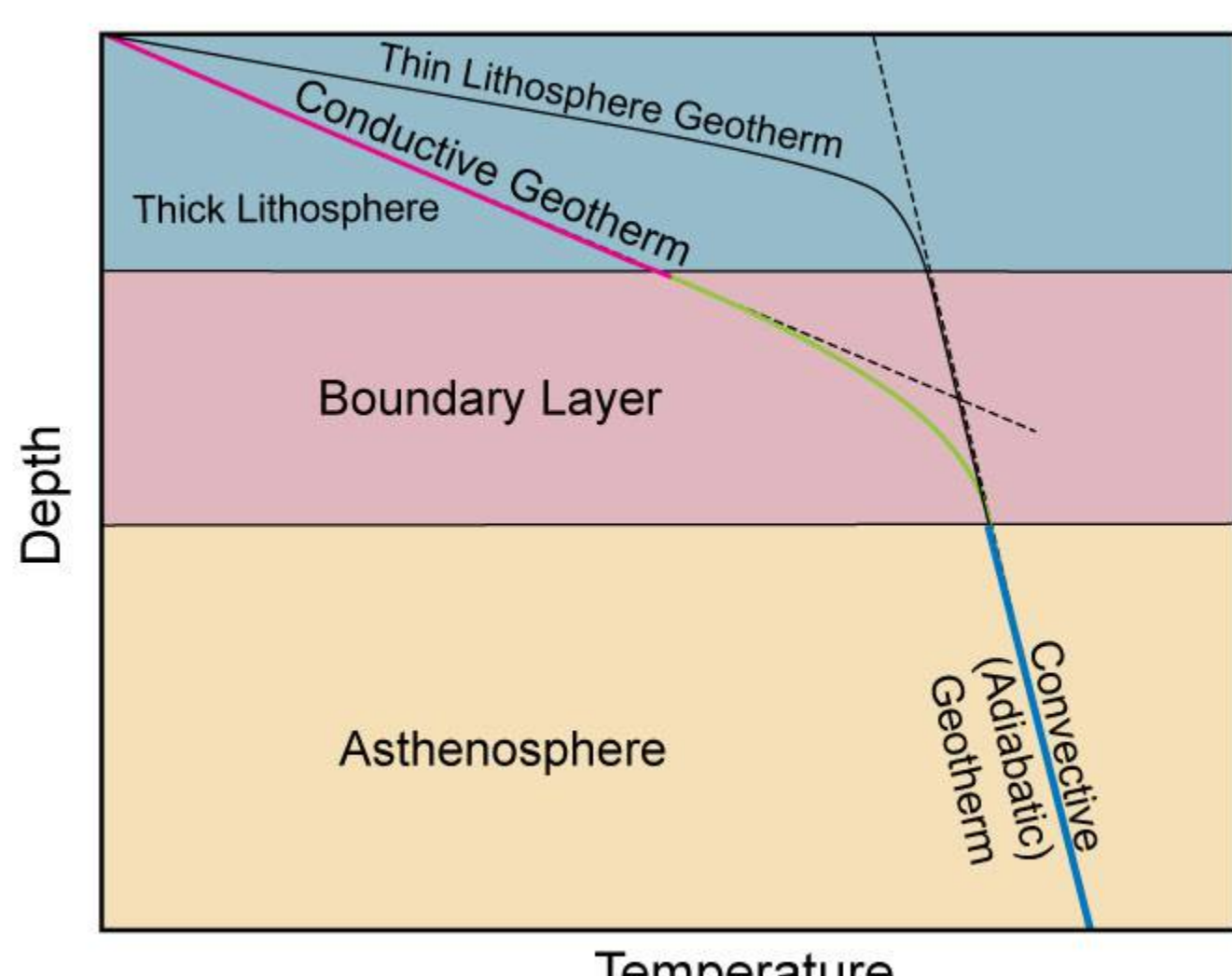


Figura 1.9 Un ejemplo similar para la litosfera gruesa (continental).



Temperature

Figura 1.9 Observe que una litosfera más delgada permite la transferencia de calor por convección a profundidades más bajas, lo que resulta en un gradiente geotérmico más alto a través de la capa límite y la litosfera.

Thin Lithosphere Conductive Geotherms Lithosphere Thick Lithosphere **Boundary Layer** Depth Asthenosphere

TP es la temperatura potencial. Permite la comparación de temperaturas (estimadas) en profundidad de una localidad a otra. Debido a que la temperatura varía con la profundidad, se debe seleccionar alguna profundidad de referencia. En este caso se eligió la superficie. Uno simplemente extrapola adiabáticamente de la T y la P en cuestión a la superficie.

**Temperature** 

Figura 1.11 Estimaciones de geotermas oceánicas (curvas azules) y escudo continental (curvas rojas) a una profundidad de 300 km. El grosor de la litosfera oceánica madura (> 100Ma) está rayado y el de la litosfera del escudo continental es amarillo. Datos de Green and Falloon ((1998), Green & Ringwood (1963), Jaupart y Mareschal (1999), McKenzie y otros (2005 y comunicación personal), Ringwood (1966), Rudnick y Nyblade (1999), Turcotte y Schubert. (2002).

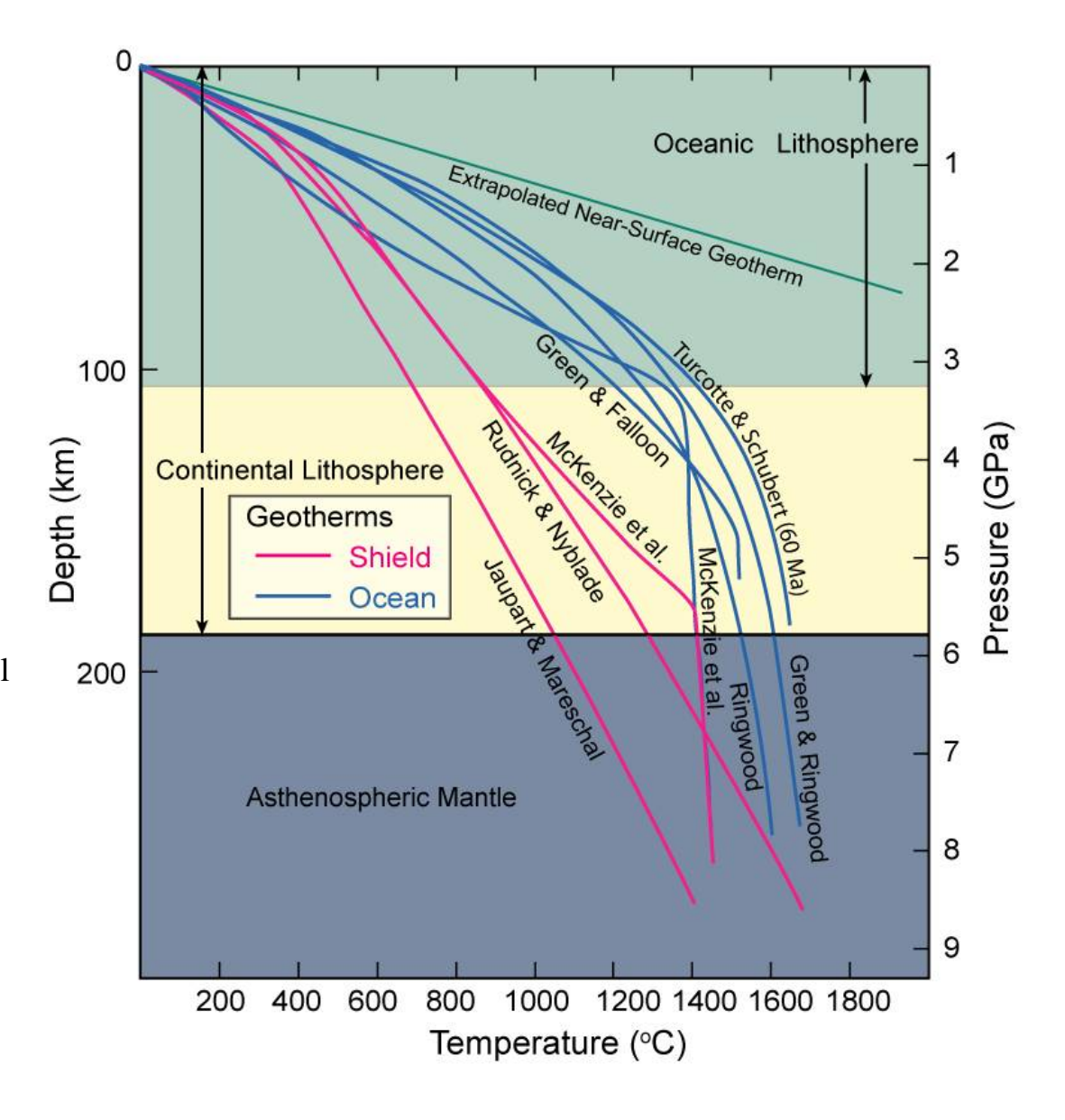
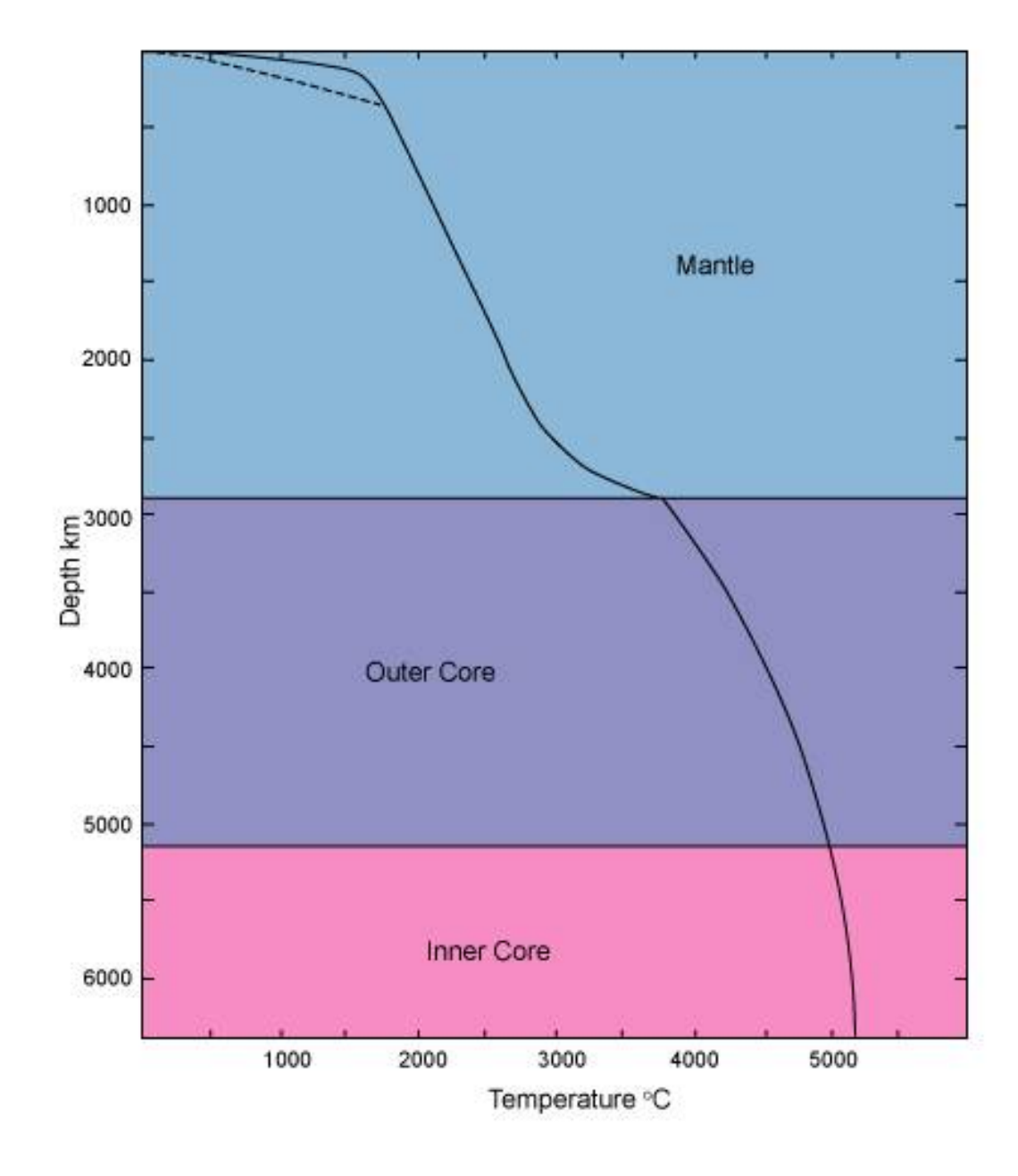
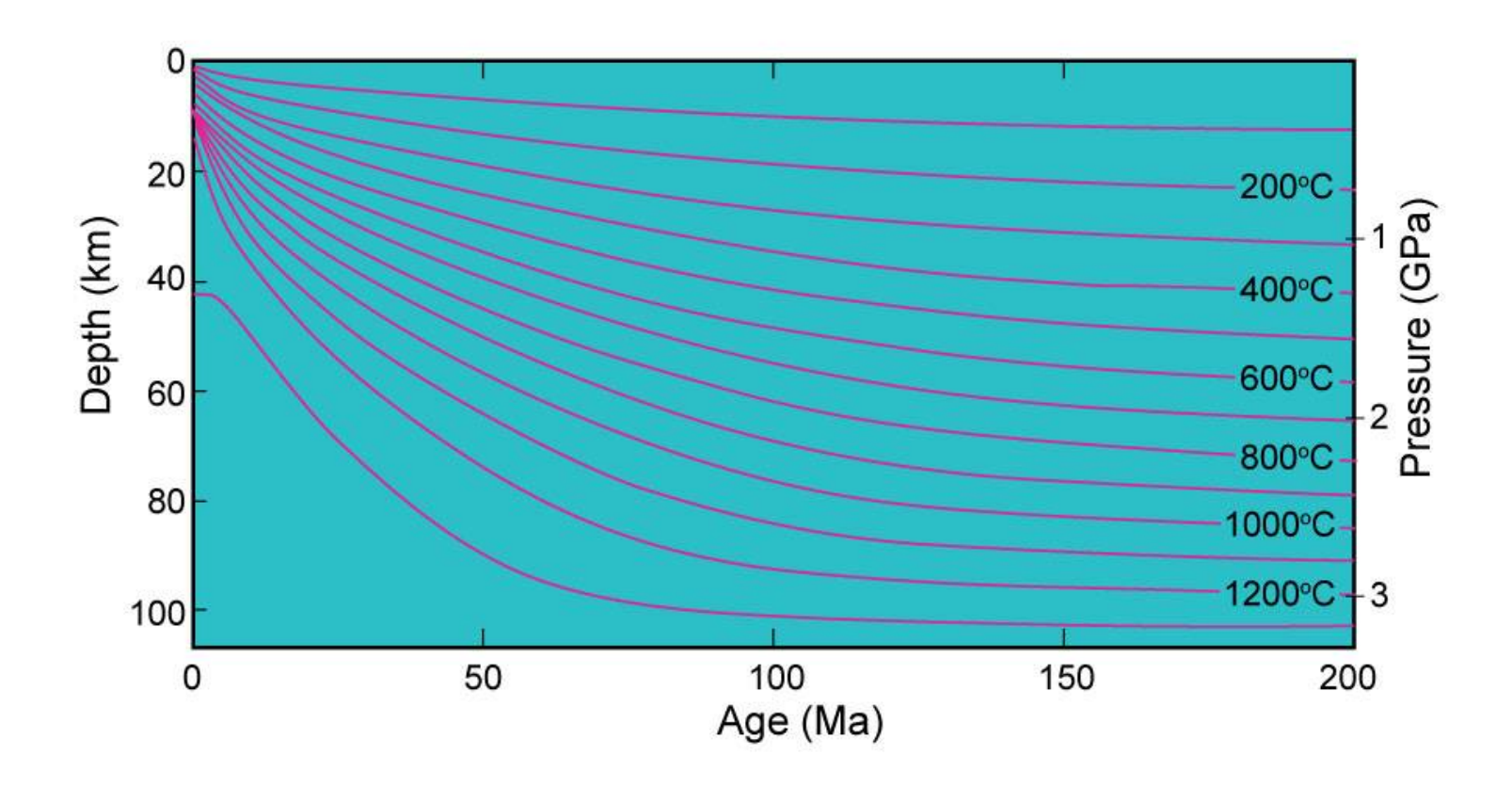


Figura 1.12 Estimación del gradiente geotérmico al centro de la Tierra (después de Stacey, 1992). La parte sólida poco profunda está muy cerca de la geotermia oceánica Green & Ringwood (1963) en la figura 1-11 y la geoterma discontinua es la geoterma continental Jaupart & Mareschal (1999).

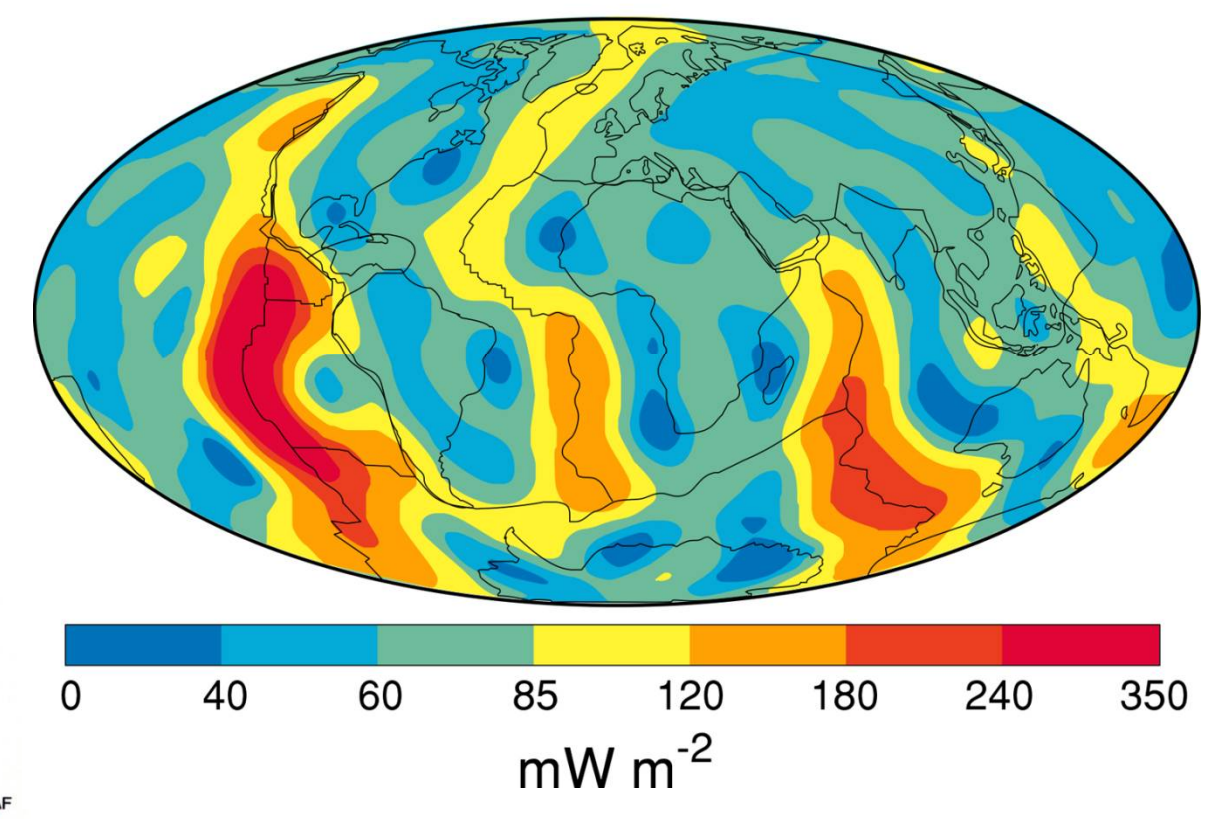


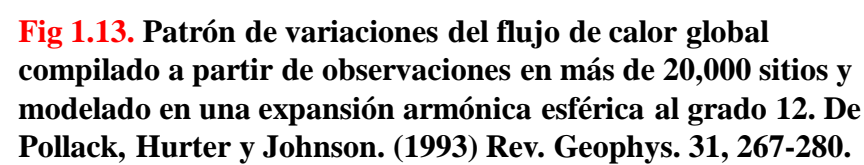


**Figura 1.10** Los contornos de temperatura calculados para una placa oceánica generada en una cordillera en medio del océano (edad 0) y el engrosamiento a medida que se enfría. La isoterma 1300oC es una aproximación razonable para la base de la litosfera oceánica. La placa se espesa rápidamente de cero a 50 Ma y es esencialmente constante más allá de 100 Ma. De McKenzie et al. (2005).

#### **Heat Flow**

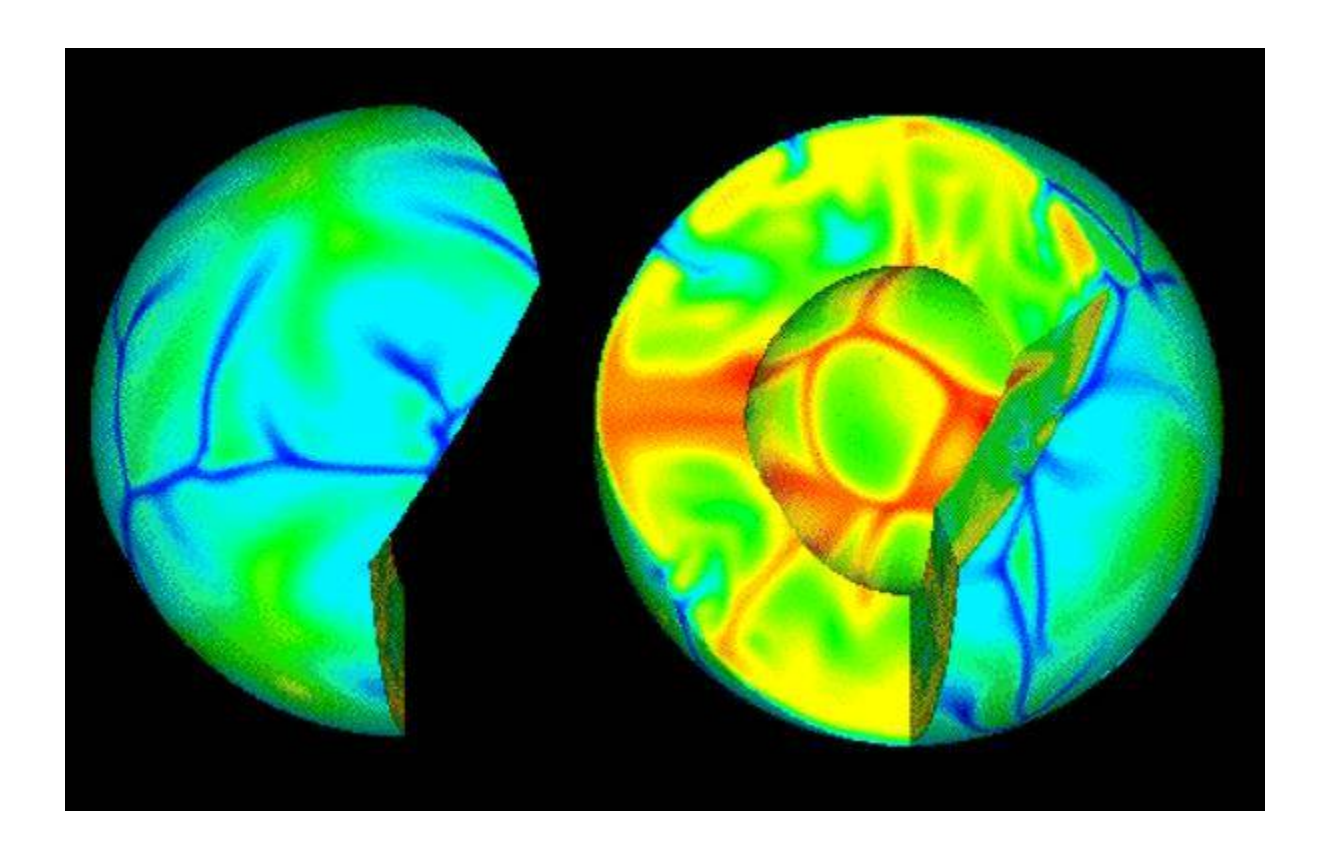
### El Gradiente Geotérmico





Corte transversal del manto basado en un modelo de tomografía sísmica. Las flechas representan movimientos de placa y zonas de subdivisión y flujo de manto a gran escala representadas por segmentos de línea de inmersión. EPR = - Aumento del Pacífico oriental, MAR = Mid-Atlantic Ridge, CBR = Carlsberg Ridge. Placas: EA = Euroasiática, IN = India,

PA = Pacífico, NA = América del Norte, SA = América del Sur, AF = África, CO = Cocos. De Li y Romanowicz (1996). J. Geophys. Investigación, 101, 22,245-72.



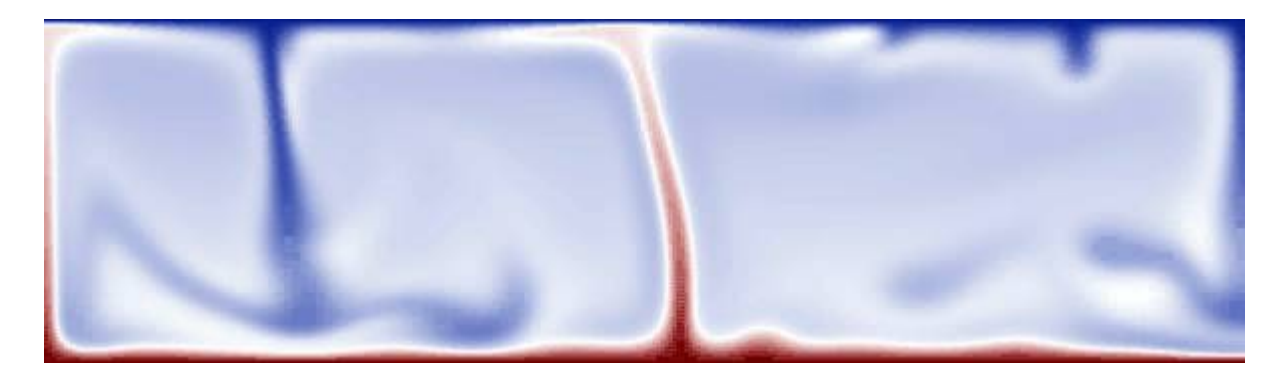
Estructura térmica en un modelo de convección de manto esférico 3D (el rojo es cálido, el azul es frío). J. H. Davies y H.-Peter Bunge

http://www.ocean.cf.ac.uk/people/huw/AG U99/mantlecirc.html

#### Placas tectónicas

Mecanismos de enfriamiento para un planeta caliente.

Si la viscosidad es lo suficientemente baja, las columnas (en azul) descenderán de la capa superior enfriada: una forma de convección.



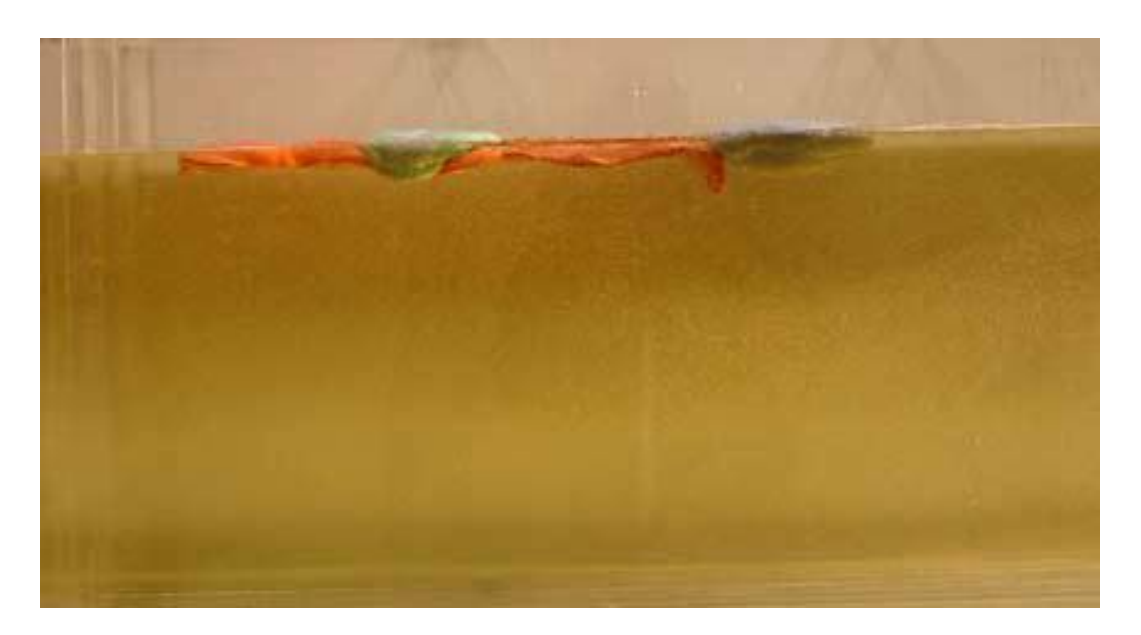
Pero el manto superior es demasiado viscoso para esto.

Figura 12-18. Plumas frías que descienden de una capa límite superior enfriada en un tanque de aceite de silicona. Foto cortesía de Claude Jaupart.

#### Placas tectónicas

Mecanismos de enfriamiento para un planeta caliente.

Para una viscosidad similar a la de la Tierra, las losas se despegan y descienden

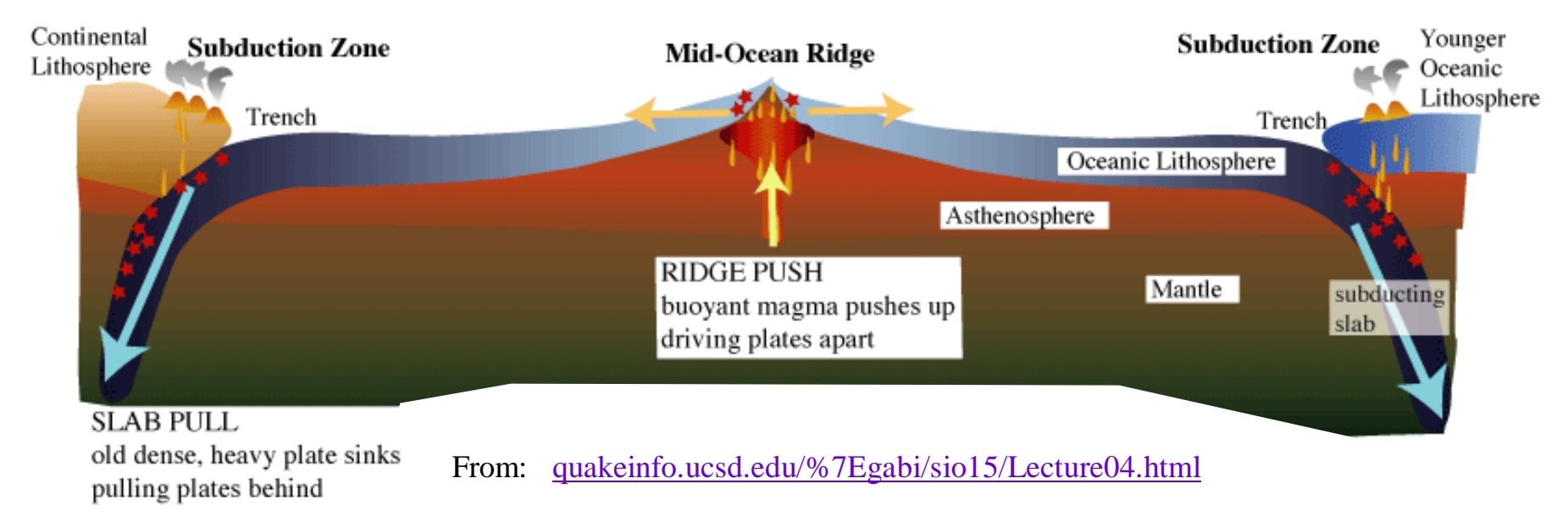


If this avi fails to play, click this link: <u>Videos\PuttySubduction15s.mov</u>

Movie clip from Randall Perry, U Maine.

http://www.geology.um.maine.edu/geodynamics/analogwebsite/UndergradProjects2005/Perry/html/index.html

#### Placas tectónicas



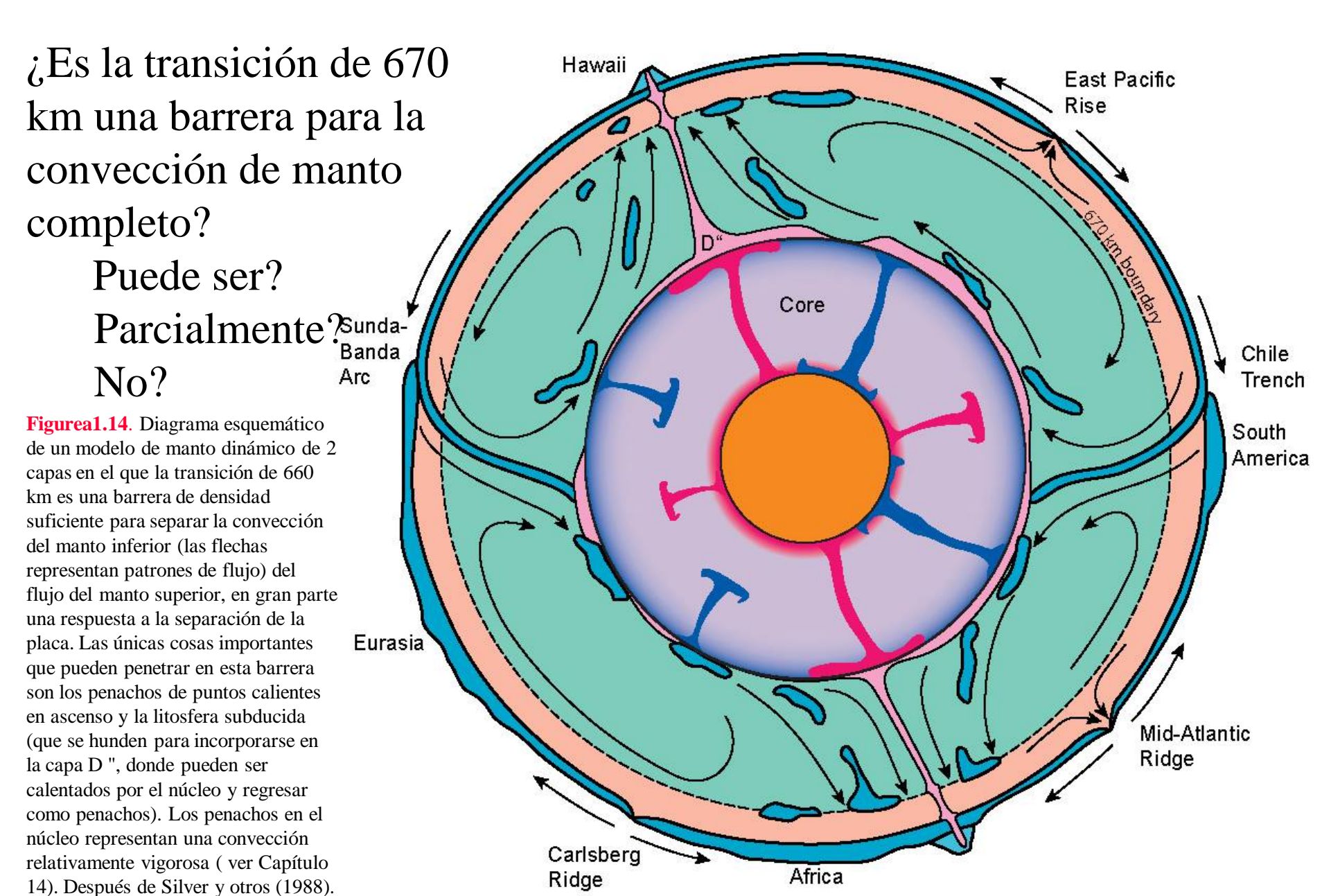
"Slab Pull" es por lo tanto mucho más efectivo que "Ridge Push"

Pero ambos son malos términos: "tirar losa" es realmente una fuerza corporal (la gravedad actúa sobre toda la losa densa).

La vieja cuestión de si la convección impulsa o no la tectónica de placas también es discutible: la tectónica de placas es la convección del manto.

Sin embargo, el núcleo se enfría por convección más vigorosa, que calienta la base del manto por conducción e inicia las columnas (viscosidad más baja)

#### Manto dinámico



## Plácas Tectónicas - Génesis de Rocas Ígneas

- 1. Cordillera del océano medio
- 2. Intracontinental Rifts
- 3. Arcos de islas
- 4. Actividad de margen Continental

- 5. Cuencas de Back-Arc
- 6. Islas Oceánicas Basalticas
- 7. Actividad
  Miscellaneous IntraContinental

kimberlites, carbonatites, anorthosites...

